

6.3 Momenty setrvačnosti a deviační momenty rovinných obrazců

Statické momenty rovinného obrazce

-k ose y $S_y = \int_A z dA$ -k ose z $S_z = \int_A y dA$ [m³]

Axiální momenty setrvačnosti rovinného obrazce

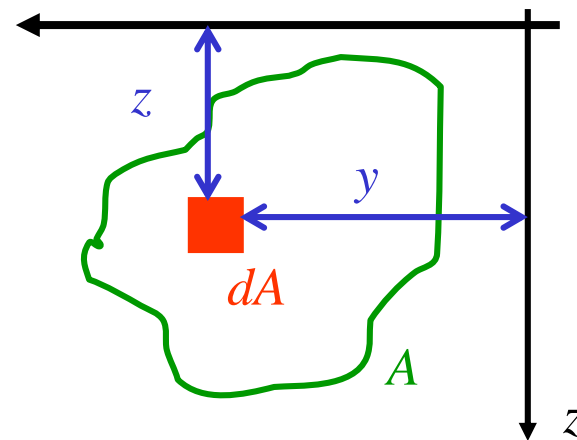
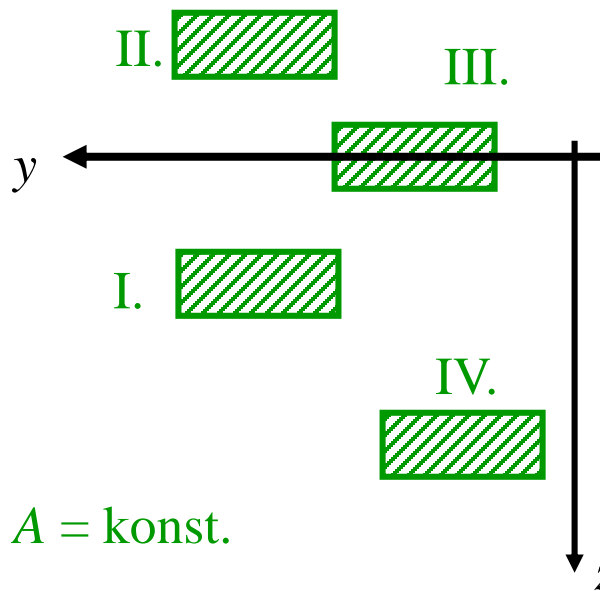
-k ose y $I_y = \int_A z^2 dA$ [m⁴]

-k ose z $I_z = \int_A y^2 dA$ [m⁴]

Pozn.:

1) $I_y, I_z > 0$

2) I_y, I_z závisí
na vzdálenosti
plochy od osy

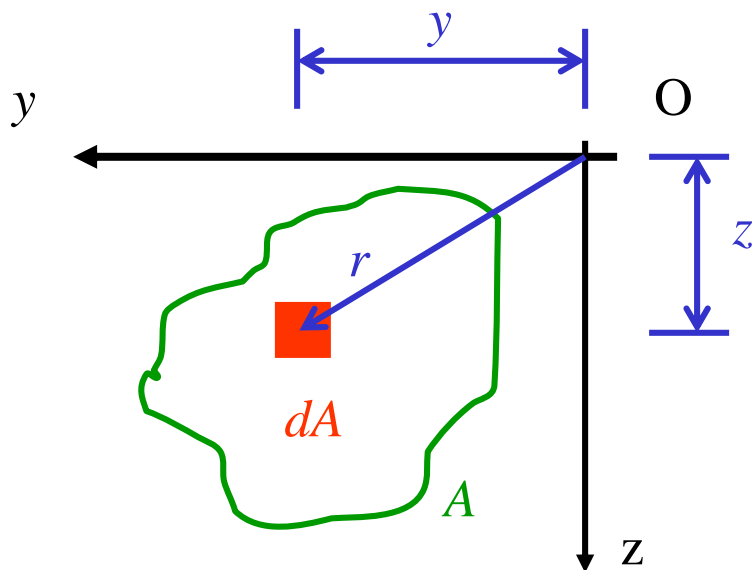


$$I_y^I = I_y^{II}$$

$$I_y^{III} < I_y^I = I_y^{II} < I_y^{IV}$$

Polární moment setrvačnosti rovinného obrazce

-k počátku O



$$I_0 = \int_A r^2 dA = \int_A (y^2 + z^2) dA \quad [\text{m}^4]$$

$$\text{pozn.: } I_0 = I_z + I_y$$

Deviační moment rovinného obrazce

-k osám y,z

$$D_{yz} = \int_A yz dA \quad [m^4]$$

Pozn.:

1) $D_{yz} \leq 0$

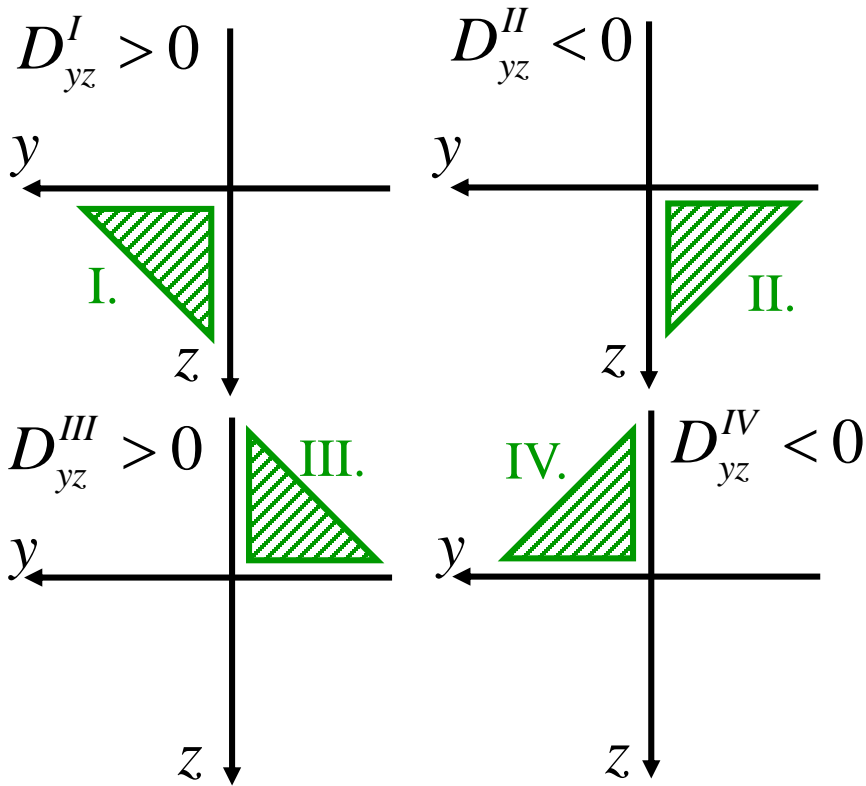
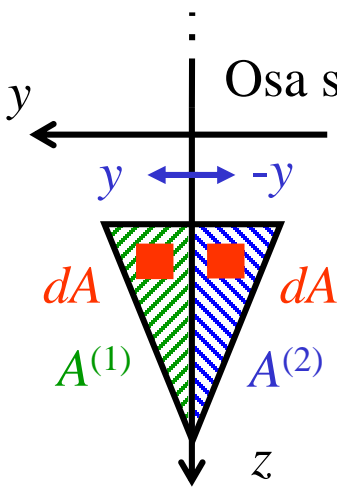
2) symetricky umístěný obrazec

$$D_{yz}^I = -D_{yz}^{II} = D_{yz}^{III} = -D_{yz}^{IV}$$

$$D_{yz}^I > 0$$

3) y nebo z ... osa symetrie

$$\Rightarrow D_{yz} = 0$$

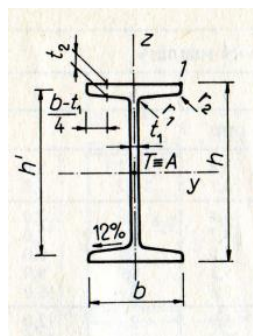


$$\int_A yz dA = \int_{A^{(1)}} yz dA + \int_{A^{(2)}} yz dA$$
$$\int_{A^{(1)}} yz dA = - \int_{A^{(2)}} yz dA \Rightarrow D_{yz} = 0$$

Výpočet:

1. Přímou integrací

2. Skládáním základních geometrických útvarů



Statické veličiny

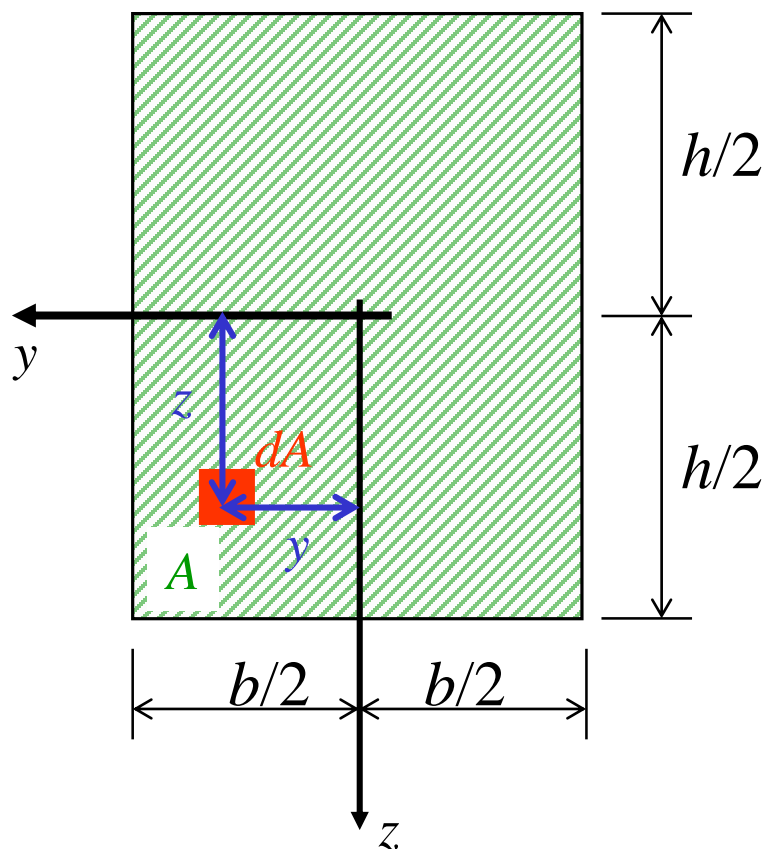
| Označení průřezu | A | I_y | W_y | i_y | I_z | W_z | i_z |
|------------------|-----------------|-----------------|-----------------|-------|-----------------|-----------------|-------|
| IE | mm ² | mm ⁴ | mm ³ | mm | mm ⁴ | mm ³ | mm |
| 80 | 610 | 0,81 | 20,2 | 32,3 | 74,9 | 3,06 | 9,8 |
| 100 | 1 200 | 1,98 | 39,7 | 40,6 | 179 | 6,49 | 12,2 |
| 120 | 1 470 | 3,50 | 58,4 | 48,8 | 279 | 8,72 | 13,8 |
| 140 | 1 740 | 5,72 | 81,7 | 57,3 | 419 | 11,5 | 15,5 |
| 160 | 2 020 | 8,73 | 109 | 65,7 | 586 | 14,5 | 17,0 |
| 180 | 2 340 | 12,9 | 143 | 74,2 | 826 | 18,4 | 18,8 |
| 200 | 2 680 | 18,4 | 184 | 82,8 | 1 150 | 23,1 | 20,7 |
| 220 | 3 060 | 25,5 | 232 | 91,3 | 1 570 | 28,6 | 22,7 |
| 240 | 3 480 | 34,6 | 289 | 99,7 | 1 980 | 34,5 | 23,9 |
| 270 | 4 020 | 50,1 | 371 | 112 | 2 600 | 41,5 | 25,4 |
| 300 | 4 650 | 70,8 | 472 | 122 | 3 370 | 49,9 | 26,9 |
| 330 | 5 380 | 98,4 | 597 | 135 | 4 190 | 59,9 | 27,9 |
| 360 | 6 190 | 133,8 | 743 | 147 | 5 160 | 71,1 | 28,9 |
| 400 | 7 140 | 189,3 | 947 | 163 | 6 660 | 85,9 | 30,5 |
| 450 | 8 300 | 274,5 | 1 220 | 182 | 8 070 | 101 | 31,2 |
| 500 | 9 780 | 392,9 | 1 570 | 200 | 10 400 | 122 | 32,6 |
| Násobitel | — | 10 ⁶ | 10 ³ | — | 10 ³ | 10 ³ | — |

GEOMETRICKÉ CHARAKTERISTIKY ROVINNÝCH OBRAZCŮ

TABULKA 3.

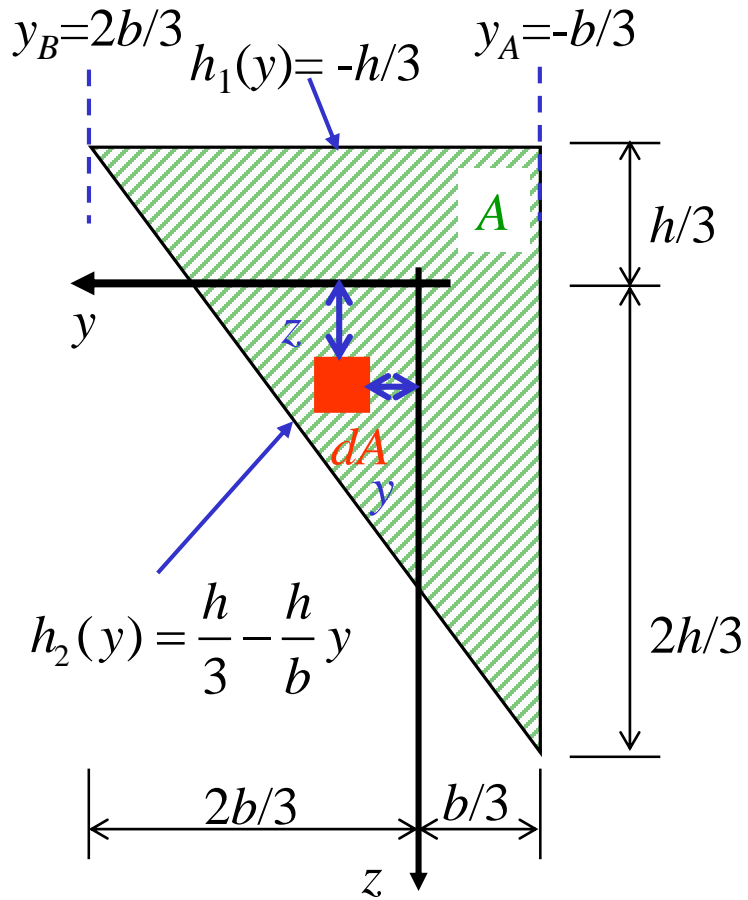
| TVAR OBRAZCE | PLOCHA A | SOUŘADNICE TĚŽISTĚ $C_g(y_0, z_0)$ | AXIÁLNÍ MOMENTY SETRVAČNOSTI I | DEVIČNÍ MOMENTY D |
|--------------|---|--|--|--|
| | $A = bh$ | $y_0 = \frac{b}{2}$ $z_0 = \frac{h}{2}$ | $I_{y_0} = \frac{bh^3}{12}$, $I_{z_0} = \frac{hb^3}{12}$ $I_y = \frac{bh^3}{3}$, $I_z = \frac{hb^3}{3}$ | $D_{yz} = \frac{b^2 h^2}{4}$ $D_{y_0 z_0} = 0$ |
| | $A = \frac{bh}{2}$ | $z_0 = \frac{h}{3}$ | $I_{y_0} = \frac{bh^3}{36}$ $I_y = \frac{bh^3}{12}$ $I_{y'} = \frac{bh^3}{4}$ | |
| | $A = \frac{bh}{2}$ | $z_0 = \frac{h}{3}$ | $I_{y_0} = \frac{bh^3}{36}$, $I_{z_0} = \frac{hb^3}{48}$ $I_y = \frac{bh^3}{12}$ | $D_{y_0 z_0} = 0$ |
| | $A = \frac{bh}{2}$ | $y_0 = \frac{b}{3}$ $z_0 = \frac{h}{3}$ | $I_{y_0} = \frac{bh^3}{36}$, $I_{z_0} = \frac{hb^3}{36}$ $I_y = \frac{bh^3}{12}$, $I_z = \frac{hb^3}{12}$ $I_{y'} = \frac{bh^3}{4}$ | $D_{y_0 z_0} = -\frac{b^2 h^2}{12}$ $D_{yz} = \frac{b^2 h^2}{24}$ $D_{y'z'} = -\frac{b^2 h^2}{8}$ ZNAMÉNKA! |
| | $A = \pi r^2 = \frac{\pi d^2}{4}$ $\approx 3,1416 r^2 =$ $= 0,7854 d^2$ | | $I_{y_0} = I_{z_0} = \frac{\pi r^4}{4} = \frac{\pi d^4}{64}$ $\approx 0,7854 r^4 =$ $= 0,0491 d^4$ | $D_{y_0 z_0} = 0$ |
| | $A = \frac{2}{3} bh$ | $y_0 = \frac{3}{8} b$ $z_0 = \frac{2}{5} h$ | $I_{y_0} = \frac{8}{175} bh^3 \approx 0,0457 bh^3$ $I_{z_0} = \frac{19}{480} hb^3 \approx 0,0396 hb^3$ $I_y = \frac{16}{105} bh^3 \approx 0,1524 bh^3$ $I_z = \frac{2}{15} hb^3 \approx 0,1333 hb^3$ $I_{y'} = \frac{2}{7} bh^3 \approx 0,2857 bh^3$ $I_{z'} = \frac{3}{10} hb^3 \approx 0,3000 hb^3$ | |

Příklad 1a: Odvod'te vzorec pro moment setrvačnosti obdélníka k těžišťové ose



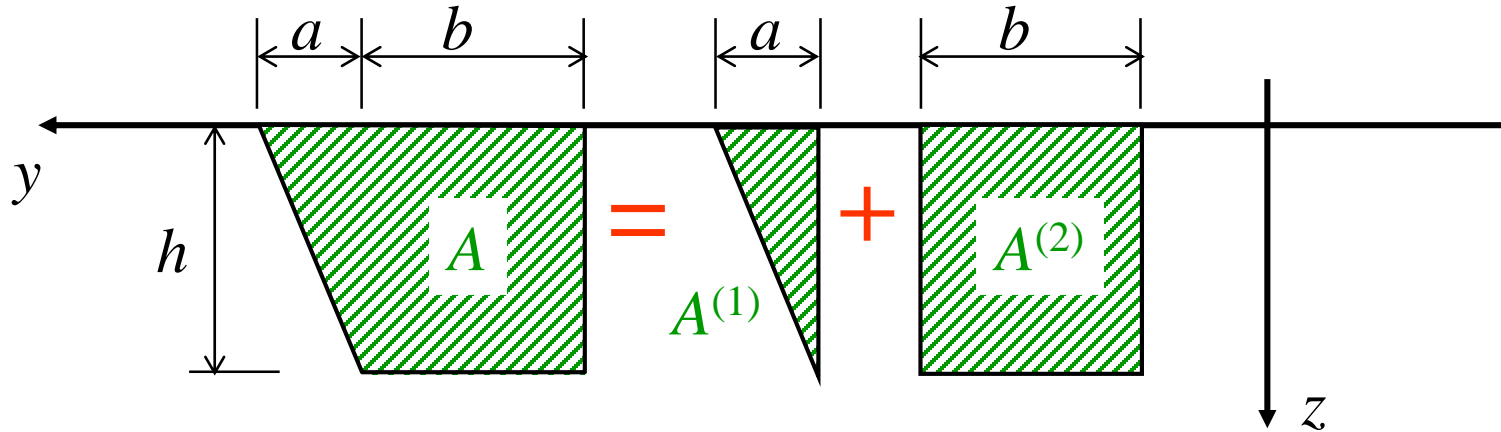
$$\begin{aligned} I_y &= \int_A z^2 dA = \int_{-b/2}^{b/2} \int_{-h/2}^{h/2} z^2 dz dy \\ &= \int_{-b/2}^{b/2} \left[\frac{z^3}{3} \right]_{z=-h/2}^{h/2} dy = \int_{-b/2}^{b/2} \frac{h^3}{12} dy \\ &= \left[\frac{h^3}{12} y \right]_{y=-b/2}^{b/2} = \underline{\underline{\frac{1}{12} b h^3}} \end{aligned}$$

Příklad 1b: Odvod'te vzorec pro deviační moment pravoúhlého trojúhelníka k těžišťovým osám



$$\begin{aligned}
 D_{yz} &= \int_A yz \, dA = \int_{y=y_A}^{y_B} \left(\int_{z=h_1(y)}^{h_2(y)} yz \, dz \right) dy \\
 &= \int_{y=-\frac{b}{3}}^{\frac{2b}{3}} \left(\int_{z=-\frac{h}{3}}^{\frac{h}{3}-\frac{h}{b}y} yz \, dz \right) dy = \int_{y=-\frac{b}{3}}^{\frac{2b}{3}} \left(y \left[\frac{z^2}{2} \right]_{z=-\frac{h}{3}}^{\frac{h}{3}-\frac{h}{b}y} \right) dy \\
 &= \int_{y=-\frac{b}{3}}^{\frac{2b}{3}} y \left(\frac{\left(\frac{h}{3} - \frac{h}{b}y \right)^2}{2} - \frac{\left(-\frac{h}{3} \right)^2}{2} \right) dy \\
 &= \left[-\frac{h^2 y^3}{9b} + \frac{h^2 y^4}{8b^2} \right]_{y=-\frac{b}{3}}^{\frac{2b}{3}} = \underline{\underline{-\frac{b^2 h^2}{72}}}
 \end{aligned}$$

Příklad 2: Vypočtete moment setrvačnosti složeného obrazce k ose y

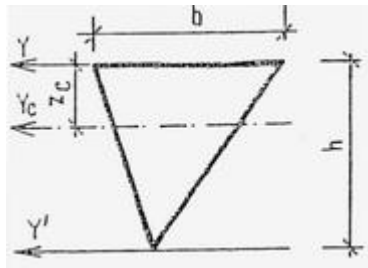


$$A = A^{(1)} + A^{(2)}$$

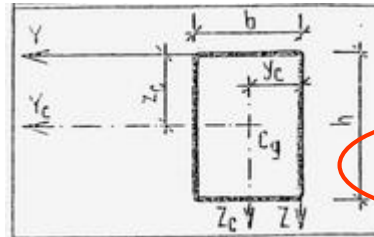
(rozdělení
integrační oblasti)

$$I_y = \int_A z^2 dA = \int_{A^{(1)}} z^2 dA + \int_{A^{(2)}} z^2 dA = I_y^{(1)} + I_y^{(2)}$$

z tabulek:



$$\begin{aligned} I_{y_c} &= \frac{bh^3}{36} \\ I_y &= \frac{bh^3}{12} \\ I_{y'} &= \frac{bh^3}{4} \end{aligned}$$



$$\begin{aligned} I_{y_c} &= \frac{bh^3}{12} \\ I_y &= \frac{bh^3}{3} \end{aligned}$$

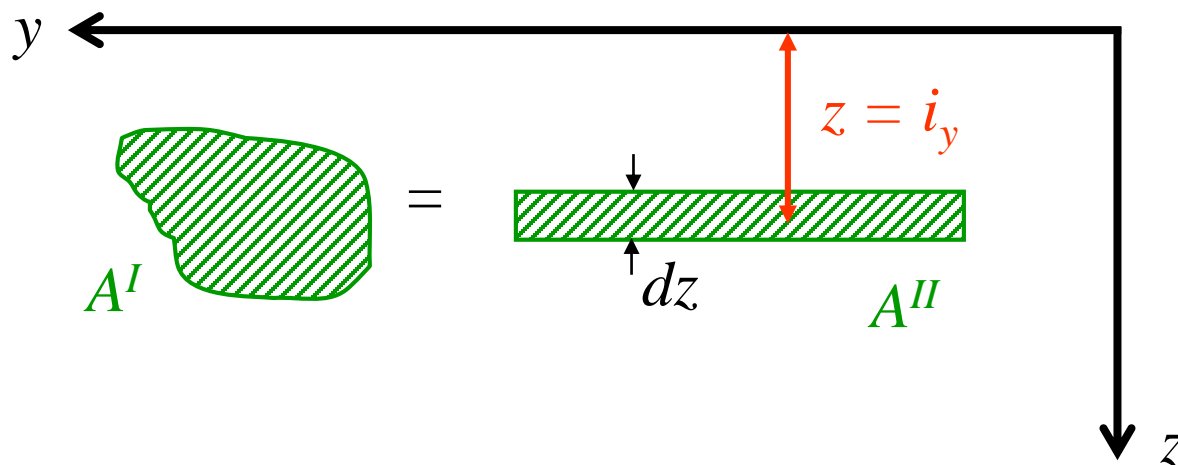
**můžeme sčítat
pouze
momenty ke
stejně ose !!!**

$$I_y^{(1)} = \frac{ah^3}{12}$$

$$I_y^{(2)} = \frac{bh^3}{3}$$

$$I_y = \frac{ah^3}{12} + \frac{bh^3}{3}$$

6.4 Poloměry setrvačnosti rovinného obrazce



Předpoklad:

$$A^I = A^{II} = A$$

$$I_y^I = I_y^{II} = I_y$$

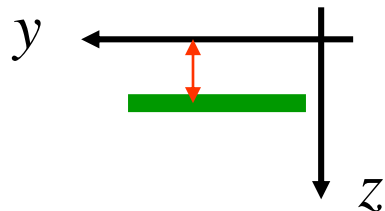
Platí:

$$I_y^{II} = \int_{A^{II}} z^2 dA = i_y^2 \cdot A^{II} \quad (z = \text{konst.} = i_y)$$

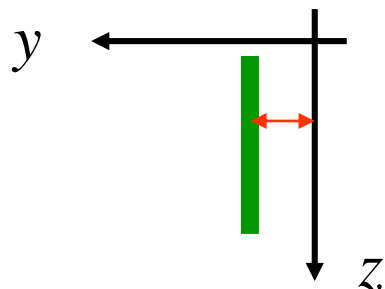
$$\Rightarrow I_y = i_y^2 \cdot A$$

Definujeme **poloměr setrvačnosti**

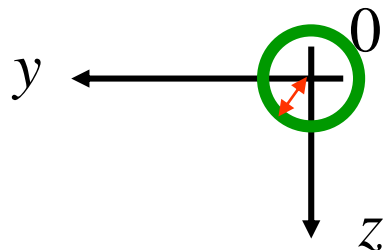
-k ose y : $i_y = \sqrt{\frac{I_y}{A}}$



-k ose z : $i_z = \sqrt{\frac{I_z}{A}}$



-k počátku 0 : $i_0 = \sqrt{\frac{I_0}{A}}$



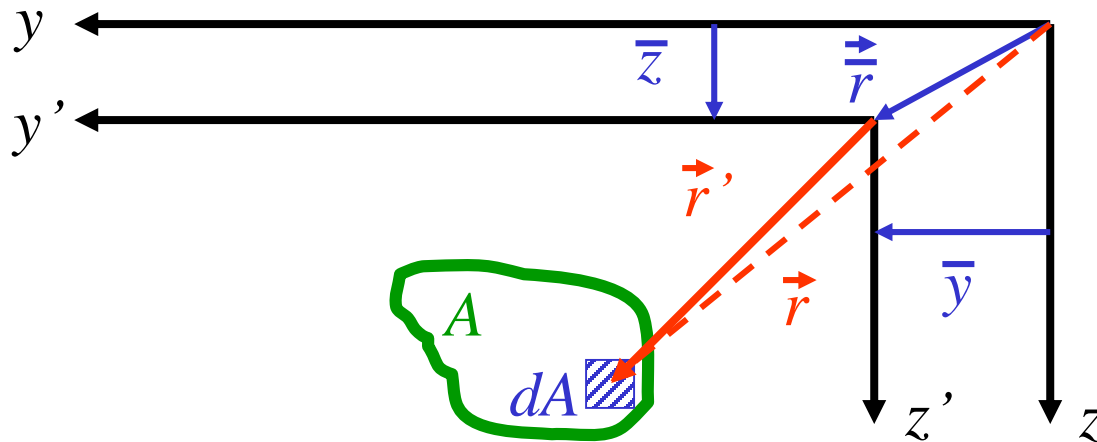
Pozn.: i_y, i_z, i_0 [m]

$$i_0^2 = i_y^2 + i_z^2$$

6.5 Transformace momentů setrvačnosti a deviačních momentů

Momenty setrvačnosti k posunutým osám

Známe momenty setrvačnosti a deviační moment k osám y, z ;
určit momenty setrvačnosti a deviační moment k osám y', z' .



Transformace
souřadnic:

$$y' = y - \bar{y}$$

$$z' = z - \bar{z}$$

$$(\vec{r}' = \vec{r} - \vec{r})$$

$$\begin{aligned} I_{z'} &= \int_A y'^2 dA = \int_A (y - \bar{y})^2 dA = \int_A y^2 dA - 2\bar{y} \int_A y dA + \bar{y}^2 \int_A dA \\ &= \underline{I_z - 2\bar{y}S_z + \bar{y}^2 A} \end{aligned}$$

Pozn.: $\bar{y} = konst.$

Podobně odvodíme:

$$I_{y'} = I_y - 2 \bar{z} S_y + \bar{z}^2 A$$

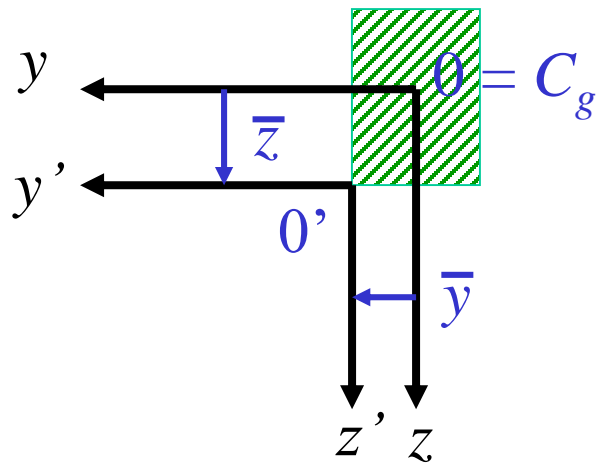
$$I_{0'} = I_0 - 2 \bar{y} S_z - 2 \bar{z} S_y + A(\bar{y}^2 + \bar{z}^2)$$

$$D_{y'z'} = D_{yz} - \bar{y} S_y - \bar{z} S_z + \bar{y} \bar{z} A$$

Pozn.:

$$I_{0'} = I_{y'} + I_{z'}$$

Zvolíme-li počátek souřadnic y, z v **těžišti obrazce**, pak $S_y = S_z = 0$



$$\begin{pmatrix} y_c = \frac{S_z}{A} = 0 \\ z_c = \frac{S_y}{A} = 0 \end{pmatrix}$$

$I_y, I_z, D_{yz}, I_0 \dots$ **těžišťové (centrální)**
momenty setrvačnosti, dev. moment

$$I_{y'} = I_y + \bar{z}^2 A$$

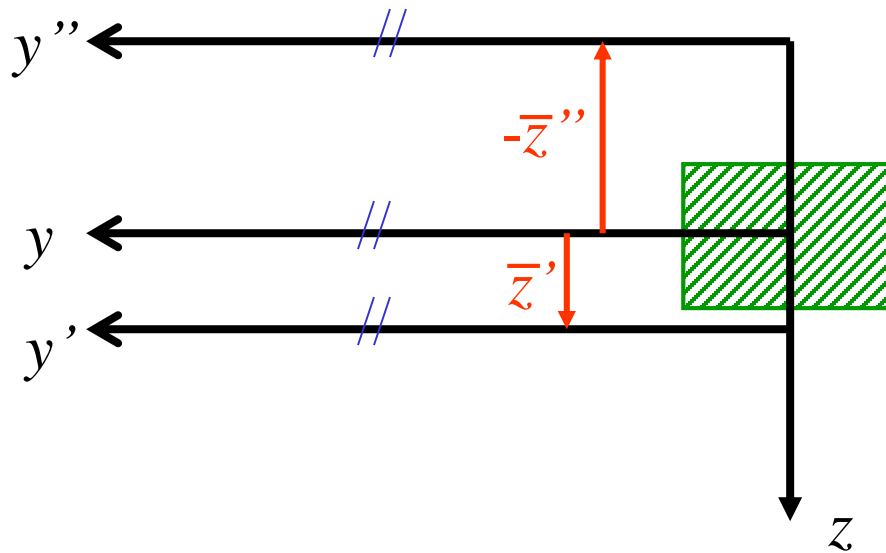
$$D_{y'z'} = D_{yz} + \bar{y} \bar{z} A$$

$$I_{z'} = I_z + \bar{y}^2 A$$

$$I_{0'} = I_0 + (\bar{y}^2 + \bar{z}^2) A$$

(Steinerova věta)

Poznámka:



$$I_{y'} = I_y + \bar{z}'^2 A$$

$$I_{y''} = I_y + (-\bar{z}'')^2 A$$

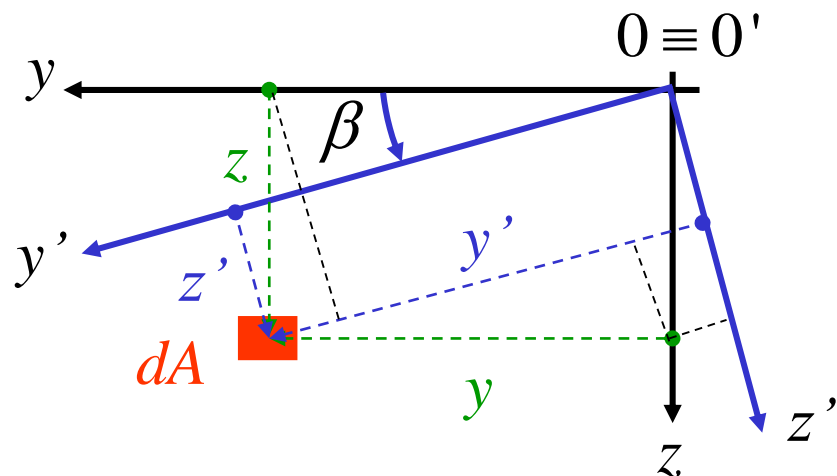
$$|\bar{z}'| < |\bar{z}''| \Rightarrow$$

$$I_y < I_{y'} < I_{y''}$$

.... k těžišťové ose je moment setrvačnosti nejmenší.

Momenty setrvačnosti k **pootočeným osám**

Známe momenty setrvačnosti a deviační moment k osám y, z ;
určit momenty setrvačnosti a deviační moment k osám y', z' .



Transformace souřadnic:

$$y' = y \cdot \cos \beta + z \cdot \sin \beta$$

$$z' = -y \cdot \sin \beta + z \cdot \cos \beta$$

$$\{r'\} = \{T\} \{r\}$$

$$\begin{aligned} I_{z'} &= \int_A y'^2 dA = \int_A (y \cdot \cos \beta + z \cdot \sin \beta)^2 dA \\ &= \cos^2 \beta \cdot \underbrace{\int_A y^2 dA}_{I_z} + \underbrace{2 \sin \beta \cos \beta}_{\sin 2\beta} \underbrace{\int_A yz dA}_{D_{yz}} + \sin^2 \beta \underbrace{\int_A z^2 dA}_{I_y} \\ &= I_y \sin^2 \beta + I_z \cos^2 \beta + D_{yz} \sin 2\beta \end{aligned}$$

Podobně odvodíme:

$$I_{y'} = I_y \cos^2 \beta + I_z \sin^2 \beta - D_{yz} \sin 2\beta$$

$$D_{y'z'} = \frac{1}{2}(I_y - I_z) \sin 2\beta + D_{yz} \cos 2\beta$$

Pozn.: platí pro libovolné osy y, z (nejen těžišťové)

$$\begin{aligned}
 I_0 &= \underline{I_{y'}} + I_{z'} = (I_y + I_z)(\cos^2 \beta + \sin^2 \beta) \\
 &\quad + \sin 2\beta \cdot (D_{yz} - D_{zy}) \\
 &= \underline{I_y + I_z} = I_0
 \end{aligned}$$

Maticový zápis:

$$\begin{bmatrix} I_{y'} & -D_{yz'} \\ -D_{yz'} & I_{z'} \end{bmatrix} = \begin{bmatrix} \cos \beta & \sin \beta \\ -\sin \beta & \cos \beta \end{bmatrix} \begin{bmatrix} I_y & -D_{yz} \\ -D_{yz} & I_z \end{bmatrix} \begin{bmatrix} \cos \beta & -\sin \beta \\ \sin \beta & \cos \beta \end{bmatrix}$$

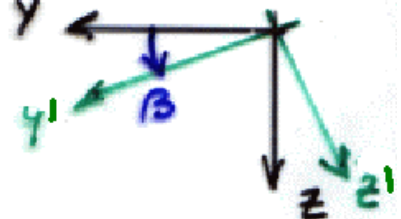
$$[I'] = [T][I][T]^T$$

$[I], [I] \dots$ tenzor setrvačnosti

$[T] \dots$ transformační matice

Invarianty tenzoru setrvačnosti

Invariant ... výraz nezávislý na pootočení soustavy souřadnic Y



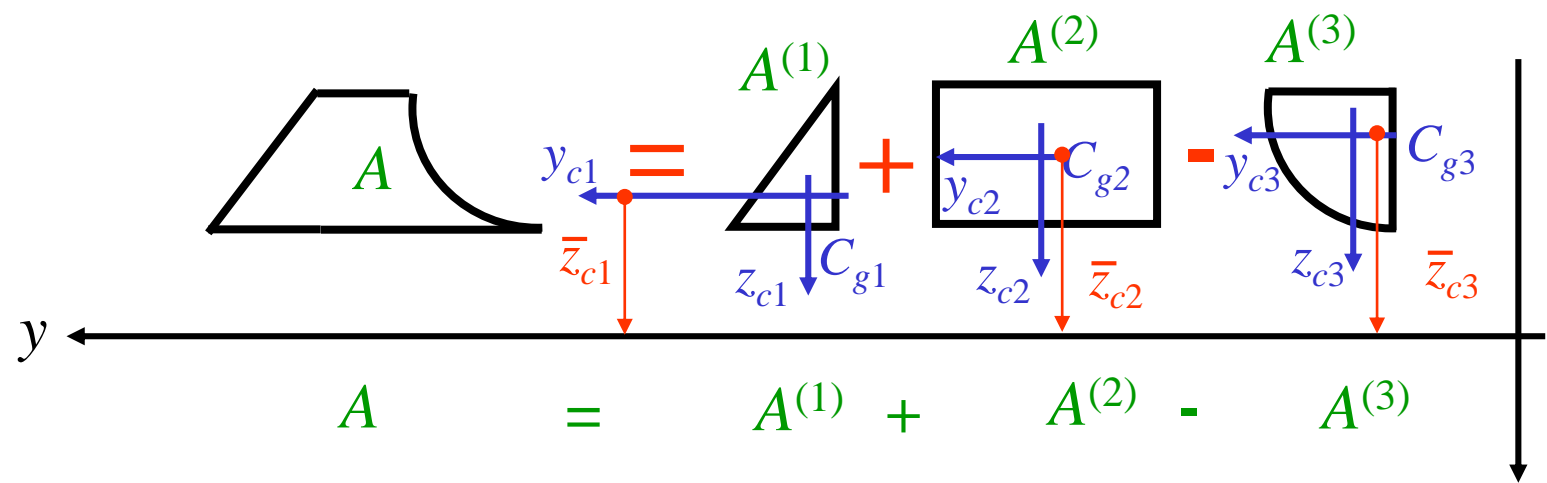
Lineární invariant

$$I_{1I} = I_Y + I_Z = I_{Y'} + I_{Z'} = I_0 \text{ (viz dříve)}$$

Kvadratický invariant

$$I_{2I} = I_Y I_Z - D_{YZ}^2 = I_{Y'} I_{Z'} - D_{Y'Z'}^2$$

Použití: výpočet momentů setrvačnosti **složených obrazců**; např.



$$I_y = \int_A z^2 dA = \int_{A^{(1)}} z^2 dA + \int_{A^{(2)}} z^2 dA - \int_{A^{(3)}} z^2 dA$$

$$= I_y^{(1)} + I_y^{(2)} - I_y^{(3)} \quad (\text{Pozn. vše k ose } y !)$$

$$I_y^{(1)} = \underline{I_{yc1}^{(1)}} + A^{(1)} \underline{\bar{z}_{c1}^2}$$

Souřadnice počátku os y, z
(vzhledem k osám y_{ci} , z_{ci})

$$I_y^{(2)} = \underline{I_{yc2}^{(2)}} + A^{(2)} \underline{\bar{z}_{c2}^2}$$

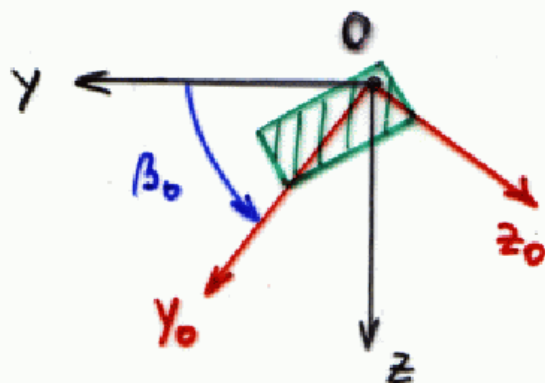
$$I_y^{(3)} = \underline{I_{yc3}^{(3)}} + A^{(3)} \underline{\bar{z}_{c3}^2}$$

Momenty setrvačnosti k těžišti jednotlivých
obrazců (tj. centrální m. s.); např. z tabulek

6.6

Hlavní osy a momenty setrvačnosti

Pro zvolený počátek ohledáme úhel natočení souřadného systému takový, aby momenty setrvačnosti k rotačním osám byly extremální.



$$\begin{aligned}\frac{dI_{y'}}{d\beta} &= (I_z - I_y) \sin 2\beta \\ &\quad - 2D_{yz} \cos 2\beta \\ &= -\frac{dI_{z'}}{d\beta}\end{aligned}$$

$$\frac{dI_{y'}}{d\beta} = 0 \Rightarrow \tan 2\beta_0 = \frac{2D_{yz}}{I_z - I_y}$$

$$\frac{dI_{z'}}{d\beta} = 0 \Rightarrow$$

↑ hlavní směry (osy)
setrvačnosti

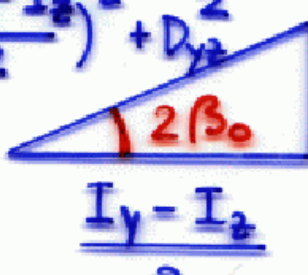
Hlavní momenty setrvačnosti:

$$I_{y_0} = I_y \cos^2 \beta_0 + I_z \sin^2 \beta_0 - D_{yz} \sin 2\beta_0$$

$$I_{z_0} = I_y \sin^2 \beta_0 + I_z \cos^2 \beta_0 + D_{yz} \sin 2\beta_0$$

$$\cos^2 \beta_0 = \frac{1}{2}(\cos 2\beta_0 + 1); \quad \sin^2 \beta_0 = \frac{1}{2}(1 - \cos 2\beta_0)$$

$$I_{y_0} = \frac{I_y + I_z}{2} + \frac{I_y - I_z}{2} \cos 2\beta_0 - D_{yz} \sin 2\beta_0$$

$$\pm \sqrt{\left(\frac{I_y - I_z}{2}\right)^2 + D_{yz}^2}$$


$$\cos 2\beta_0 =$$

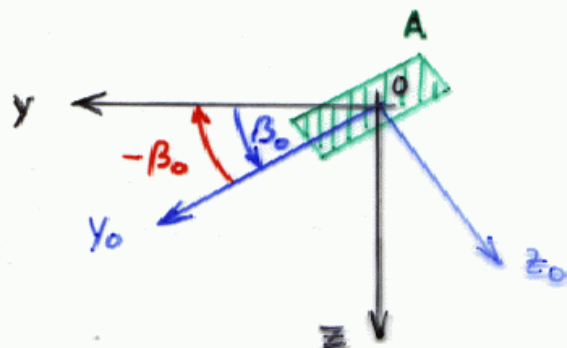
$$\pm \frac{I_y - I_z}{2 \sqrt{\left(\frac{I_y - I_z}{2}\right)^2 + D_{yz}^2}}$$

$$\sin 2\beta_0 = \dots$$

$$\begin{aligned}
 I_{y_0} &= \frac{I_y + I_z}{2} \pm \sqrt{\frac{(I_y - I_z)^2}{4} + D_{yz}^2} \\
 I_{z_0} &= \frac{I_y + I_z}{2} \mp \sqrt{\frac{(I_y - I_z)^2}{4} + D_{yz}^2} \\
 D_{yz_0} &= 0 \quad (!)
 \end{aligned}
 \left. \vphantom{\begin{aligned} I_{y_0} \\ I_{z_0} \end{aligned}} \right\} \begin{array}{l} \text{Hlavní} \\ \text{momenty} \\ \text{setrvačnosti} \\ I_{1,2} \quad (I_1 \geq I_2) \end{array}$$

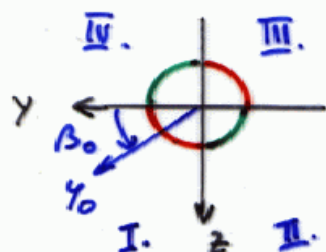
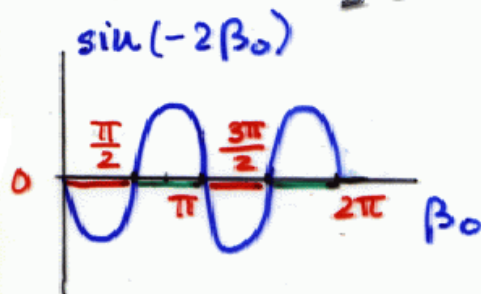
Pozn.: $I_y + I_z$... první invariant

$\sqrt{\frac{(I_y - I_z)^2}{4} + D_{yz}^2}$ musí být nezávislé
na podobném souřad.
systému

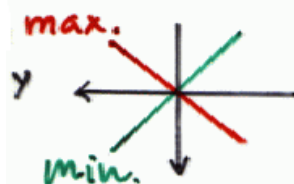


Transformace $(y_0, z_0) \rightarrow (y, z)$

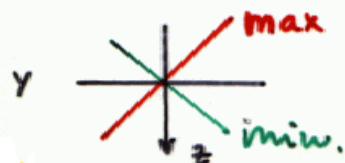
$$D_{yz} = \frac{1}{2}(I_{y_0} - I_{z_0}) \sin(-2\beta_0)$$



| | | | |
|-------|---------------------|---------------------|----------|
| > 0 | $I_{y_0} > I_{z_0}$ | > 0 | II., IV. |
| > 0 | $I_{z_0} > I_{y_0}$ | < 0 | I., III. |
| < 0 | $I_{z_0} > I_{y_0}$ | > 0 | II., IV. |
| < 0 | $I_{y_0} > I_{z_0}$ | < 0 | I., III. |
| | \uparrow I_1 | \uparrow I_2 | |

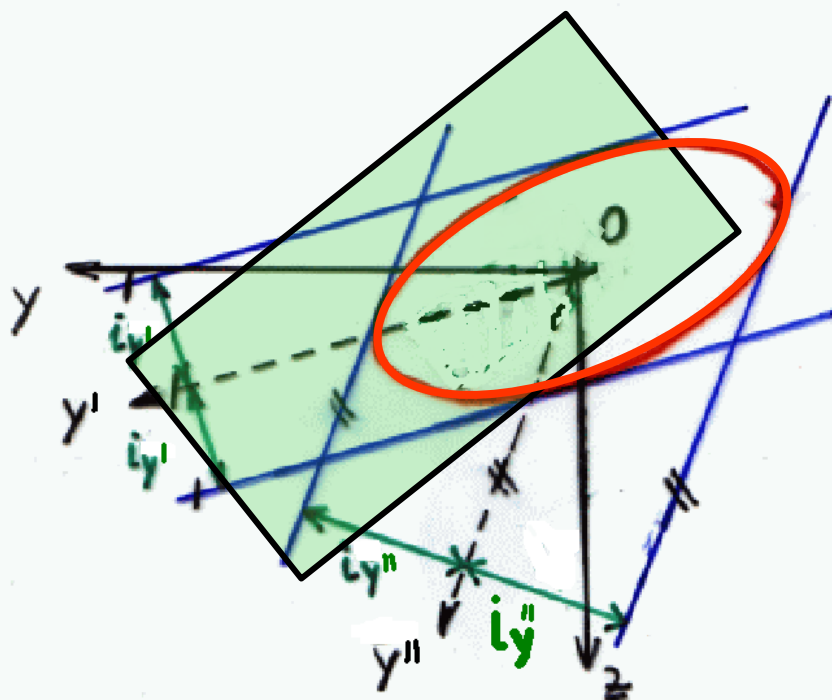


$$\longleftrightarrow D_{yz} > 0 \left\{ \begin{array}{l} \text{osa max. momentu s.} \\ \text{v II. a IV. kvadrantu} \end{array} \right.$$



$$\longleftrightarrow D_{yz} < 0 \left\{ \begin{array}{l} \text{osa max. momentu s.} \\ \text{v I. a III. kvadrantu} \end{array} \right.$$

6.7

Elipsa setrvačnosti

Pozn.:

$$i_{y'} = \sqrt{\frac{I_{y'}}{A}}, \dots$$

- vedeme přímky rovnoběžné s osami setrvačnosti $y, y', y'' \dots$ ve vzdálenosti příslušného poloměru setrv. $i_y, i_{y'}, i_{y''} \dots$

- tyto přímky obalí křivku - elipsu setrvačnosti

Elipsa setrvačnosti je určena rovnicí

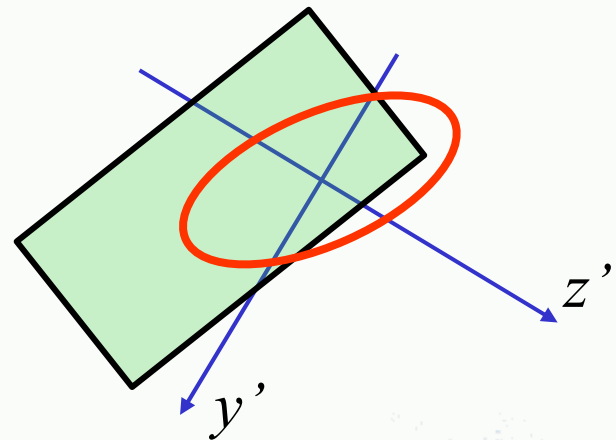
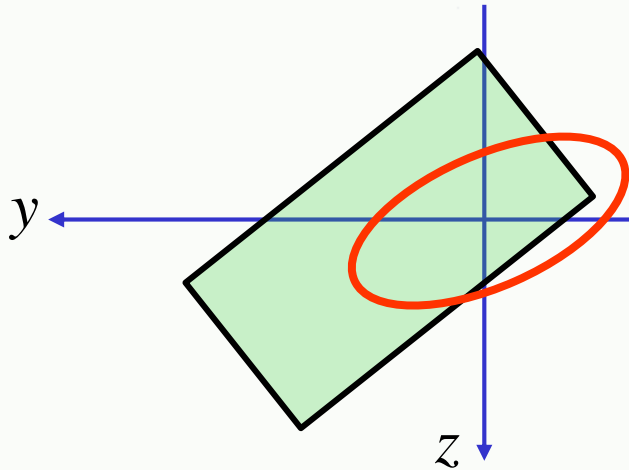
$$I_y y^2 + I_z z^2 - 2D_{yz} yz = \frac{I_y I_z - D_{yz}^2}{A},$$

kterou je možno také zapsat ve tvaru:

$$\{y, z\}^T \begin{bmatrix} I_y & -D_{yz} \\ -D_{yz} & I_z \end{bmatrix} \begin{Bmatrix} y \\ z \end{Bmatrix} = \frac{I_y I_z - D_{yz}^2}{A} \quad \leftarrow I_{Oz} \text{ (invariant)}$$

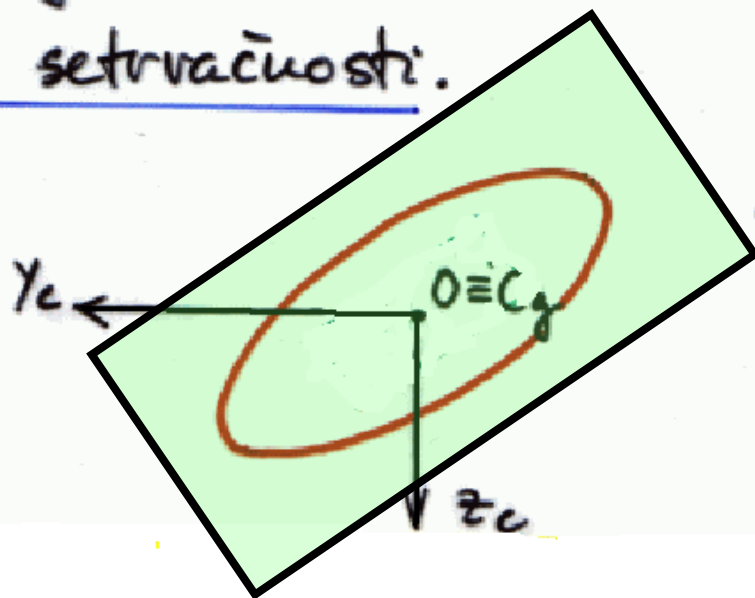
Použitím transformačních vztahů je možné ukázat, že pro vzájemně posťočené souřadnicové systémy platí

$$\{y, z\}^T \begin{bmatrix} I_y & -D_{yz} \\ -D_{yz} & I_z \end{bmatrix} \begin{Bmatrix} y \\ z \end{Bmatrix} = \{y', z'\}^T \begin{bmatrix} I_{y'} & -D_{y'z'} \\ -D_{y'z'} & I_{z'} \end{bmatrix} \begin{Bmatrix} y' \\ z' \end{Bmatrix}$$



- Tvar elipsy setrvačnosti nezávisí na natočení souřadnicového systému - závisí pouze na tvaru obrazce a poloze počátku O !

• Pro $O \equiv C_g$ (těžiště obrazce) ... centrální
elipsa setrvačnosti.



- tvar centrální elipsy přibližně sleduje tvar obrazce

Rovnice elipsy setrvačnosti v hl. osách setrv.

$$I_{y_0} y_0^2 + I_{z_0} z_0^2 - 0 = \frac{I_{y_0} I_{z_0} - 0}{A} \quad / \cdot \frac{A}{I_{y_0} I_{z_0}}$$

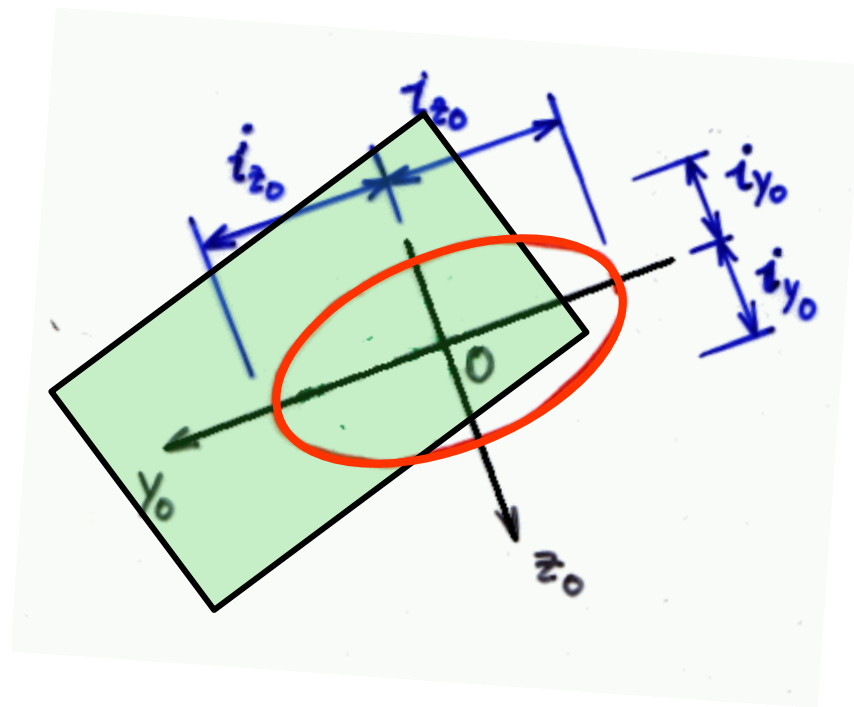
$$\frac{A}{I_{z_0}} \cdot y_0^2 + \frac{A}{I_{y_0}} z_0^2 = 1$$

$$\frac{y_0^2}{\underbrace{i_{z_0}^2}} + \frac{z_0^2}{\underbrace{i_{y_0}^2}} = 1$$

$i_{z_0}, i_{y_0} \dots$

poloosy
elipsy
setrvačnosti

$y_0, z_0 \dots$ osy elipsy setrvačnosti



*Tento dokument je určen výhradně jako doplněk k přednáškám z předmětu
Stavební mechanika 2 pro studenty Stavební fakulty ČVUT v Praze.
Dokument je průběžně doplňován, opravován a aktualizován a i přes veškerou
snahu autora může obsahovat nepřesnosti a chyby.*

Datum poslední revize: 24.4.2014